# 機能部材の耐荷性能に関する解析的検討

日鉄建材株式会社 ○國領ひろし、笠原啓、大隅久

### 1. はじめに

鋼製透過型砂防堰堤における機能部材は、機能面(捕捉性 能)では「十石流を捕捉する目的で配置される部材」とされ、 構造面(耐荷性能)からは「礫の衝突時に部材が破断せず、 所定の位置に留まっていればよく、塑性変形を許容できる 部材」とされている1). これまで、鋼製透過型砂防堰堤を構 成する構造部材への礫衝突を対象とした耐荷性能に関する 研究は数多くなされてきたが、礫捕捉のための機能部材に 対する実験や解析などの研究はあまり見当たらない.

そこで、本研究では図-1に示すような構造部材(縦部材) から張り出して設置される機能部材を対象に、礫衝突時の 耐荷性能とその安全性を解析的に検討するものである.

### 2. 解析条件

### 2.1 解析モデル

解析は、有限要素法による非線形解析汎用コード MSC. Marc を用いて実施した. 解析モデルは, 図-2 に示すよう な機能部材を両側の構造部材(以下,縦部材)から張り出し たタイプ (Typel), 片側の縦部材から張り出したタイプ (Type2)、および両側の縦部材に跨るように配置したタイ プ (Type3) の3タイプであり、縦部材の純間隔を礫直径の 1.0 倍となるように配置し、その間に機能部材を設置するも のとした. 各部材の断面寸法は表-1 に示すとおりで、機能 部材は直径 D190.7×板厚 t8.2 mm の鋼管, 縦部材は 2 種類 (D500×t22 mm および D600×t22 mm) の鋼管をそれぞれ 使用し、礫は直径 1.0m の球状体とした. 要素は、3 次元ソ リッド要素を用い, 支点となる縦部材の上端および下端は, 全自由度を拘束する境界条件とした. また, 鋼管と礫の接触 面には摩擦係数 0.3 とする接触条件を設定した.

載荷は、礫をY方向に静的に強制移動(漸増載荷)させ るものとした。これは、既往の研究<sup>2)</sup>より静的な押し込み解 析と礫衝突解析で得られた荷重一へこみ変形関係が概ね一 致することが報告されており、本研究でも礫衝突を想定し、 機能部材が破断に至るまでの耐荷性能を把握することを目 的としたためである.解析ケースは、機能部材モデル3タ イプ、縦部材2種類の全6ケースである.

### 2.2 材料特性

表-3に、解析に使用した材料物性値を示す。鋼管は一般 構造用炭素鋼鋼管 (STK490), 鋼板は溶接構造用圧延鋼材 (SM490) とし、礫は剛体とした、鋼材の構成側は、トリリ ニア型の応力-ひずみ関係を用い、降伏条件にはvon-Mises の条件を適用し、等方硬化するものとした。また、本研究で は鋼管材料の延性破壊の評価として Cockcroft-Latham の式 を用い、破壊の閾値を相当塑性ひずみが 0.2040 (公称伸び 23%) となった時点とした. すなわち, 相当塑性ひずみが 0.2040 を超えた場合に要素を削除することで鋼管の破断を 表現するものとした.

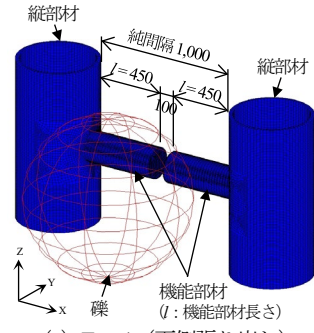
### 3. 解析結果

#### 3.1 変形特性

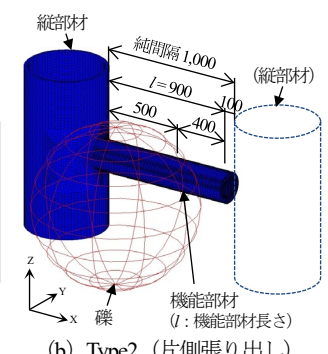
図-3 に、各タイプの荷重-載荷点変位関係を示す。ここ での変位は、礫が最初に機能部材に接触した節点の Y 方向 変位を示している. これより, 各タイプとも縦部材の違い (D500×t22 mm およびD600×t22 mm) による最大荷重に 至るまでの荷重および変位の差は僅かであり、縦部材直径 が機能部材の耐荷性能に与える影響は小さいことがわかる.

縦部材 D500 mm のケースについて着目すると、まず、 Typel の場合, 載荷初期から荷重 500 kN 付近までは荷重が 急増する. このときの相当塑性ひずみ分布は、図-4(a)に示 すとおりであり、縦部材と機能部材の接合部にひずみが発 生し、はり変形が進行していることがわかる. その後、荷重 とともに変位も大きくなり、最大荷重は 680 kN となった.

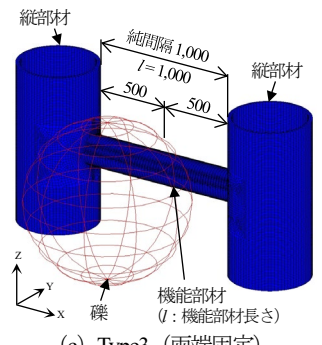




(a) Type1 (両側張り出し)



(b) Type2 (片側張り出し) 図-2 解析モデル (単位:mm)



(c) Type3 (両端固定)

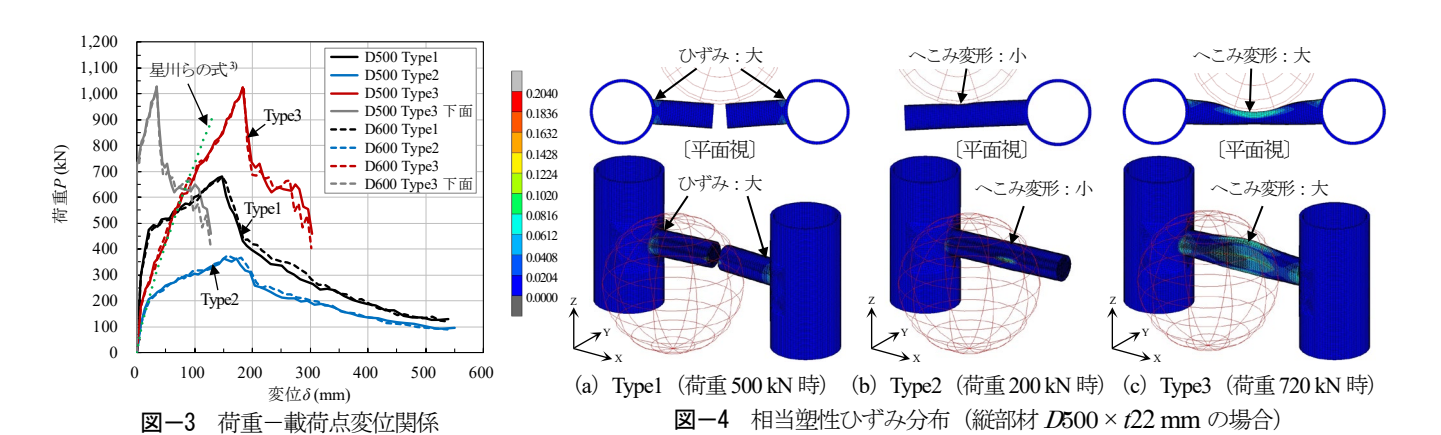
表-1 断面寸法

<b>五</b>   阿田 1四						
名称	形状・寸法 (mm)					
機能部材	D190.7×t8.2(径厚比D/t=23)					
構造部材	D500×t22 (径厚比D/t=23)					
(縦部材)	$D600 \times t22$ (径厚比 $D/t = 27$ )					
礫	直径 1,000 (球状体)					

注) D は直径, t は板厚を示す.

表-3 材料物性值

名称	材質	密度 (g/cm³)	ヤング率 (MPa)	ポアソン比	降伏応力 (MPa)	引張強度 (MPa)	伸び (%)
鋼管	STK490	7.85	2.0×10 <sup>5</sup>	0.3	315	490	23
鋼板	SM490	7.85	2.0×10 <sup>5</sup>	0.3	315	490	17



[接合部破断] [接合部破断] [接合部破断] 0.2040 0.1836 0.1632 0.1428 0.1224 0.1020 0.0816 0.0612 0.0408 0.0204 0.0000 (b) Type2 (片側張り出し) (a) Typel (両側張り出し) (c) Type3 (両端固定)

	Type1	Type2	Type3		
最大荷重	680	364	1,027		
$P_{max}$ (kN)	681	374	1,028		
最大荷重時	147	171	184		
の変位 δ (mm)	147	173	185		
機能部材	79	48	113		
吸収 <i>E</i> (kJ)	80	48	115		
縦部材 E <sub>d</sub>	29				
(kJ)	34				

表-4 機能部材の吸収エネルギー

注)上段:縦部材 D500 mm の場合 下段:縦部材D600mmの場合

図-5 相当塑性ひずみ分布 (最大荷重時: 縦部材 D500×t22 mm の場合)

次に、Type2 の場合、荷重 200 kN 付近までの荷重増加が顕 著であり、その勾配は、図中に併記した鋼管のへこみ変形に 関する星川らの式3とほぼ一致している.このときの状況を 図-4(b)に示すが、礫接触部の鋼管に若干のへこみ変形が生 じていることがわかる. その後, 荷重と変位は緩やかに増加 し、最大荷重364kNに至るが、最大荷重はTypelに比べて 小さくなった. これは、Type1 は両側2本の機能部材で荷重 に抵抗するのに対し、Type2では片側1本の機能部材で抵抗 するためである. 一方, Type3 では, 最大荷重 1,027kN とな り、Type1 および Type2 に比べて大きくなる. これは、はり 形式の違いによるもので、荷重 720kN 付近までは載荷点下 面の変位はほとんど生じておらず、荷重-載荷点変位の勾 配は星川らの式 $^{3}$ と概ね一致している.この状況は $\mathbf{20-4(c)}$ にも示すように、礫接触部のへこみ変形が先行して発生し ており、その後、はり変形が生じることが認められた.

## 3.2 機能部材の損傷状況

図-5に、各タイプにおける最大荷重時の相当塑性ひずみ 分布 (縦部材 D500 mm の場合) を示す. これより, 各タイ プとも縦部材と機能部材の接合部で大きなひずみが発生し, 機能部材の破断は、概ね最大荷重時に生じることが認めら れた. なお, 機能部材の破断は, 機能部材の接合部 (鋼管根 元) で発生することが確認された.

### 3.3 機能部材の吸収エネルギー

機能部材が破断に至るまでの吸収エネルギーEは、図-3 の荷重-載荷点変位関係で囲まれた面積から得られ、次式 で求めることができる.

$$E = \int_0^{\delta} P d\delta \tag{1}$$

ただし、 $\delta$ : 載荷点変位、P: 荷重.

表-4 に、各タイプにおいて機能部材の吸収エネルギーE を算定した結果を示す.これより,縦部材 D500 mm の場合, Type1 で 79 kJ, Type2 で 48 kJ, Type3 では 113 kJ となり, Type3 が最も大きく, Type2 が最も小さくなる. この傾向は, 縦部材 D600 mm の場合も同様である. 一方, 最上流面に配 置する構造部材の礫衝突による鋼管のへこみ率は10%以下 とされており1),縦部材のへこみ変形による吸収エネルギー  $E_d$ を星川らの式 $^{3}$ により求めると,  $D500 \times t22 \,\mathrm{mm}$  で $^{29}$ kJ, D600 × t22 mm では 34 kJ となる. つまり、機能部材が破断 に至るまでの吸収エネルギーEは、縦部材のへこみ変形によ る吸収エネルギー $E_d$ に比べ、十分大きいことが認められた.

### 4. まとめ

本研究の成果をまとめると、以下のようになる.

- 1) 本研究の範囲(縦部材板厚 22 mm の場合)では、縦部材 の直径が機能部材の耐荷性能に与える影響は小さい.
- 2) 片側張り出しの機能部材は、両側張り出しの機能部材に 比べて耐荷性能に劣り、吸収エネルギーも小さくなる.
- 3) 機能部材が破断に至るまでの吸収エネルギーは、礫衝突 を受ける縦部材の吸収エネルギー(設計値)より大きい. なお, 今後, 縦部材の板厚の影響や機能部材のサイズの違 い, 礫の偏心衝突などに対する検討も必要であると考える.
- (一財) 砂防・地すべり技術センター: 新編・鋼製砂防構造物 設計便覧 鋼製砂防構造物委員会,令和3年版,2021.
- 2) 別府万寿博, 濵田匠李: 礫衝突を受ける鋼管はり部材の変形メ カニズムに関する一考察,2021年度砂防学会研究発表会概要集, pp.219-220, 2021.
- 星川辰雄,石川信隆,彦坂熈,阿部宗平:局部変形とひずみ速 度効果を考慮した鋼管固定はりの衝撃応答変位、土木学会論文 集, No.513/I-31, pp.101-115, 1995.